Clase 18 - Radiación Electromagnética. Electromagnetismo en medios materiales.

Prof. Juan Mauricio Matera

8 de noviembre de 2024

Energía y cantidad de movimiento en OEM

Energía y Cantidad de Movimiento en Ondas Electromagnéticas

- ► Como las ondas mecánicas, las ondas electromagnéticas transportan energía y cantidad de movimiento.
- ▶ La Densidad de Energía contenida en los campos puede expresarse como

$$\mathcal{U}_{EM} = \frac{\varepsilon_0}{2} |\vec{E}(\vec{r}, t)|^2 + \frac{1}{2\mu_0} |\vec{B}(\vec{r}, t)|^2$$

ó, en el caso de una onda plana, $|\vec{E}|=|\vec{B}|/c=\sqrt{\mu_0\varepsilon_0}|\vec{B}|$

$$\mathcal{U}_{FM}^{(\text{onda plana})} = \varepsilon_0 |\vec{E}_0|^2 \cos(\vec{k} \cdot \vec{r} - \omega t)^2$$

▶ De manera que el promedio temporal de la Densidad de Energía Electromagnética viene dado por

$$\langle \mathcal{U}_{EM}^{ ext{(onda plana}}
angle_{ ext{onda plana}} = rac{arepsilon_0 |ec{\mathcal{E}}_0|^2}{2}$$

Por satisfacer la Ecuación de Ondas 1D, el promedio temporal de la Densidad de Energía es igual a su promedio espacial.

Flujo de energía. El vector de Poynting

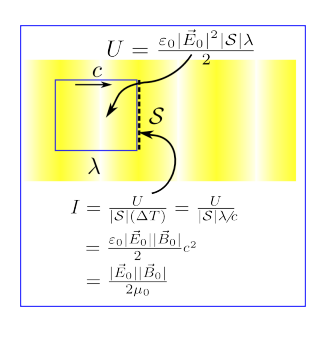
 Al igual que como definimos la Densidad de Flujo de energía en ondas mecánicas, definimos el Vector de Poynting como el vector Densidad de Flujo

$$ec{S} = c\hat{k}\mathcal{E} = c\hat{k}\varepsilon_0\vec{E}\cdot\vec{E}$$

$$= c\varepsilon_0\vec{E}\times(c\vec{B}) = \frac{\vec{E}\times\vec{B}}{\mu_0}$$

La intensidad de la radiación electromagnética viene dada por el módulo del valor medio del Vector de Poynting:

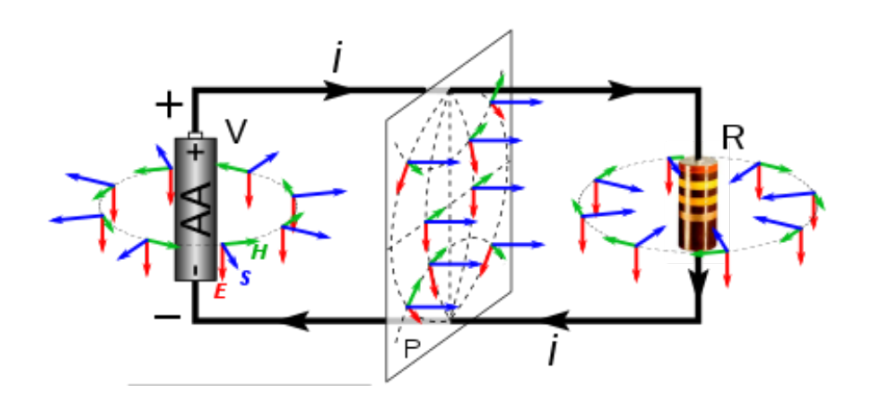
$$I = |\langle \vec{S} \rangle| = \frac{|\vec{E}_0||\vec{B}_0|}{2\mu_0} = \langle \mathcal{U} \rangle c$$



Teorema de Poynting

$$\begin{split} W_j &= \int \vec{j} \cdot \vec{E} \, d\mathcal{V} \quad \text{Trabajo neto de los campos} \\ \vec{j} \cdot \vec{E} &= \frac{1}{\mu_0} (\nabla \times \vec{B}) \cdot \vec{E} - \varepsilon_0 \frac{\partial \vec{E}}{\partial t} \cdot \vec{E} \quad \text{Ley de Ampère-Maxwell} \\ &= -\nabla \cdot \frac{\vec{E} \times \vec{B}}{\mu_0} + \frac{\vec{B}}{\mu_0} \cdot \nabla \times \vec{E} - \frac{\partial}{\partial t} \frac{\varepsilon_0}{2} |\vec{E}|^2 \\ &= -\nabla \cdot \vec{S} - \frac{\vec{B}}{\mu_0} \cdot \frac{\partial \vec{B}}{\partial t} - \frac{\partial \mathcal{U}_E}{\partial t} \quad \text{Ley de Faraday} \\ &= -\nabla \cdot \vec{S} - \frac{\partial \mathcal{U}_E}{\partial t} - \frac{\partial \mathcal{U}_B}{\partial t} \quad \text{Densidad de energía} \\ &= -\nabla \cdot \vec{S} - \frac{\partial \mathcal{U}_E}{\partial t} - \frac{\partial \mathcal{U}_B}{\partial t} \quad \text{Densidad de energía} \\ &= \frac{\vec{E} \times \vec{B}}{\vec{E}} \quad \mathcal{U}_E = \frac{\varepsilon_0 |\vec{E}|^2}{2} \quad \mathcal{U}_B = \frac{|\vec{B}|^2}{2\mu_0} \end{split}$$

Flujo del vector de Poynting en un circuito



La Densidad de Cantidad de Movimiento del Campo EM viene dada por

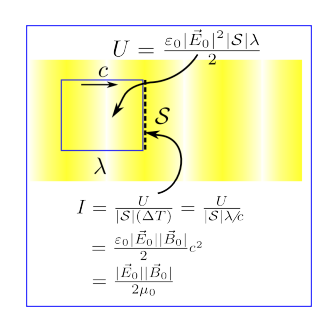
$$\mathcal{P}=rac{ec{\mathcal{S}}}{c^2}$$

 Luego, integrando en todo el espacio,

$$\vec{p} = \int \mathcal{P} d\mathcal{V}$$

es la cantidad de movimiento asociada al campo electromagnético.

 Una onda electromagnética transporta energía y cantidad de movimiento al propagarse.



Presión de Radiación

Cuando una superficie interactúa con radiación electromagnética, esta sufre una **presión de radiación**.

 Si la absorción es completa (absorción completa)

$$\langle \vec{F} \rangle = \langle \frac{d\vec{p}}{dt} \rangle = \hat{k} \cdot \vec{\mathcal{S}} c \langle \vec{\mathcal{P}} \rangle$$

$$-\langle \vec{F} \rangle \cdot \check{\textbf{n}} = \mathcal{S} \cos(\theta) c \frac{|\langle \vec{S} \rangle|}{c^2} = \mathcal{S} P_{\mathrm{rad}}$$

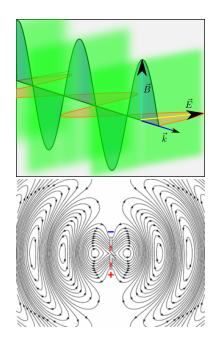
donde $P_{\rm rad} = \cos(\theta) \frac{I}{c}$ es la **Presión de Radiación**, o sea, la cantidad de

movimiento absorbida



Si la reflexión es completa, la radiación es reemitida en sentido contrario, luego
 P_{rad} = 2 cos(θ) ¹/_c

Intensidad de una onda general

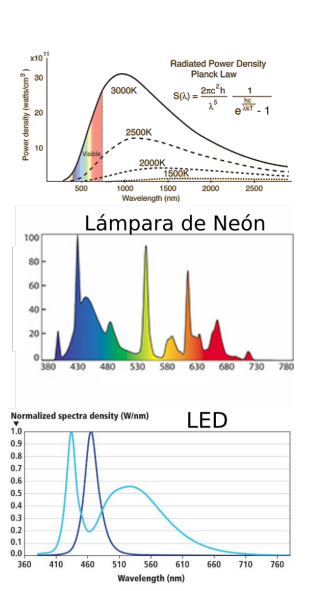


- Toda onda electromagnética es la superposición de ondas planas monocromáticas polarizadas.
- ➤ Su intensidad (promedio espacial, en un volumen *a*³) es entonces

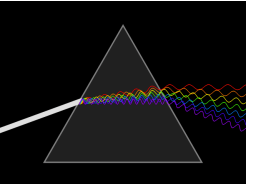
$$I = \sum_{p} \int I_{p,\lambda}(\vec{r}) d\lambda$$

con

$$I_{p,\lambda} pprox rac{(2\pi)^3}{a^3 \lambda^3} \int |\vec{E}_p(rac{2\pi}{\lambda} \check{k})|^2 d\check{k}$$

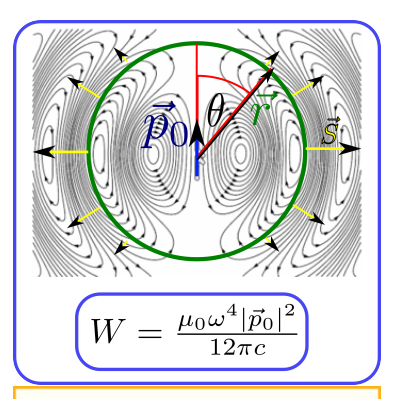


- La cantidad $S(\lambda) = I_{1,\lambda} + I_{2,\lambda}$ se conoce como *Espectro de potencia* y representa cómo se distribuye la energía electromagnética en las diferentes longitudes de onda.
- $S(\lambda)$ depende de la fuente.
- Como las diferentes longitudes de onda se propagan con diferentes velocidades en medios dispersivos, es posible separar sus componentes.



Flujo de energía en la radiación dipolar

Potencia radiada total por un dipolo



- ▶ Dipolo oscilante $\vec{p} = \vec{p}_0 \cos(\omega t)$
- Para $r \gg \lambda = 2\pi c/\omega$,

$$\vec{B} \approx \frac{\omega^2 \mu_0 \hat{r} \times \vec{p}_0 \cos(\omega t - \omega/cr)}{4\pi rc} \text{ y } \vec{E} \approx c \vec{B} \times \hat{r}$$

$$\vec{S} = \frac{\mu_0 \omega^4 |\vec{p_0}|^2 \sin^2(\theta) \cos^2(\omega(t - r/c))}{16\pi^2 r^2 c} \hat{r}$$

► Promediando en el tiempo,

$$\langle \vec{S} \rangle = \frac{\mu_0 \omega^4 |\vec{p_0}|^2 \sin^2(\theta)}{32\pi^2 r^2 c} \hat{r}$$

La potencia completa radiada por el dipolo se obtiene integrando $\int_{\mathcal{S}} \langle \vec{S} \rangle \cdot d\vec{\mathcal{S}}$ sobre una superficie esférica de radio grande:

$$W = \int_{\mathcal{S}} \langle \vec{S} \rangle \cdot d\vec{S} = \int_{0}^{\pi} \int_{0}^{2\pi} \langle \vec{S} \rangle \cdot \hat{r}^{2} \sin(\theta) d\theta d\phi$$

$$= 2\pi \frac{\mu_{0} \omega^{4} |\vec{p_{0}}|^{2}}{32\pi^{2} c} \int_{0}^{\pi} \sin^{3}(\theta) d\theta$$

$$= \frac{\mu_{0} \omega^{4} |\vec{p_{0}}|^{2}}{16\pi c} \int_{0}^{\pi} (1 - \cos^{2}(\theta)) \sin(\theta) d\theta$$

$$= \frac{\mu_{0} \omega^{4} |\vec{p_{0}}|^{2}}{16\pi c} \int_{-1}^{1} (1 - u^{2}) du$$

$$= \frac{\mu_{0} \omega^{4} |\vec{p_{0}}|^{2}}{16\pi c} (2 - \frac{2}{3})$$

$$= \frac{\mu_{0} \omega^{4} |\vec{p_{0}}|^{2}}{12\pi c} \text{Joseph Larmor}$$

$$= \frac{\mu_{0} \omega^{4} |\vec{p_{0}}|^{2}}{1857 \cdot 1942}$$

Resistencia de Radiación

- Recordando que $\vec{p} = q(t)\vec{a}$, que $\frac{d\vec{p}}{dt} = I(t)\vec{a}$, y que $I_0 = I_{ef}\sqrt{2}$, $|\omega\vec{p}_0| = \sqrt{2}I_{ef}a$.
- Luego,

$$W = \frac{\mu_0 \omega^2 I_{ef}^2}{12\pi c} = \frac{2\pi}{3} Z_0 \left(\frac{a}{\lambda}\right)^2 I_{ef}^2 = R_{\rm rad} I_{ef}^2$$

donde $Z_0=\mu_0c\approx 376\Omega$ es la Impedancia del vacío, $\lambda=2\pi c/\omega$ la longitud de onda y

$$R_{\rm rad} = \frac{2\pi}{3} \left(\frac{a}{\lambda}\right)^2 Z_0$$

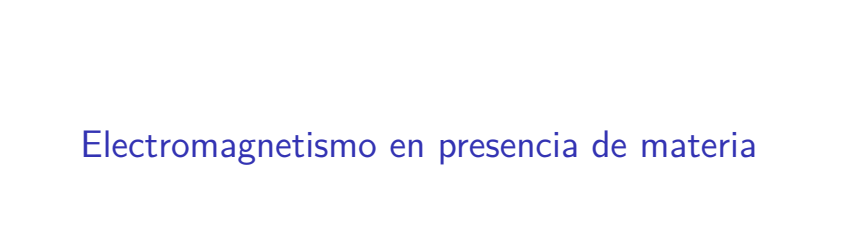
la resistencia de radiación de la antena.

De esta manera, cuando la longitud de onda de la señal es pequeña frente al tamaño de la antena (o del circuito), la potencia radiada se vuelve mayor a la potencia disipada por Efecto Joule.

Problema de integración

Considere el modelo atómico de Rutherford: de acuerdo a este modelo, un átomo estaría formado por un núcleo puntual, positivo, de carga Ze, en torno al cual se mueven electrones de carga -e en órbitas circulares. Para el caso Z=1 (Hidrógeno)

- Calcule la energía mecánica del átomo, y la frecuencia angular del electrón en función del radio de la órbita.
- ▶ Determine el momento dipolar eléctrico como función del tiempo. Exprese la potencia irradiada promedio W, como función de r, y la longitud de onda de la radiación.
- ▶ Usando la relación $\frac{dE}{dt} = -W$, y asumiendo que inicialmente $r = a_0 = 10 \times 10^{-10} \mathrm{m}$, determine cómo se reduce el radio de la órbita como función del tiempo.



- Las ecuaciones de Maxwell relacionan los campos \vec{E} y \vec{B} con la distribución de cargas y corrientes, culquiera sea su origen.
- La materia está formada microscópicamente por cargas en movimiento, pero los campos que producen tienden a
- cancelarse en promedio. ► En la práctica, conviene distinguir las cargas y corrientes *libres*

internas de la materia.

(que controlamos), de las que están *ligadas* a las propiedades

Ecuaciones de Maxwell en presencia de materia

Desplazamiento
$$\rightarrow \vec{D} = \varepsilon_0 \vec{E} + \vec{\mathcal{P}} \leftarrow$$
 Polarización
$$\nabla \cdot \vec{E} = \rho/\varepsilon_0 \longrightarrow \left\{ \begin{array}{ccc} \nabla \cdot \vec{D} &= \rho_{libre} \\ \nabla \cdot \vec{\mathcal{P}} &= -\rho_{pol} \end{array} \right.$$

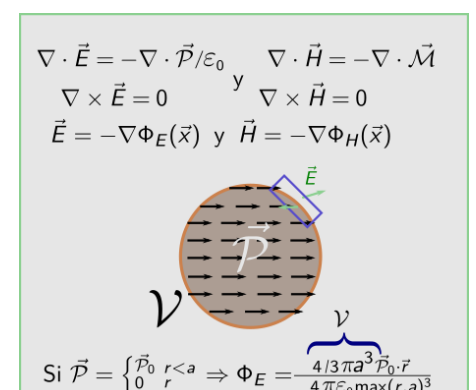
$$\nabla \cdot \vec{B} = 0 \longrightarrow \left\{ \begin{array}{ccc} \nabla \cdot \vec{H} &= -\nabla \cdot \vec{\mathcal{M}} = \rho_{mag} \end{array} \right.$$

$$\nabla \times \vec{E} = -\frac{\partial \vec{B}}{\partial t}$$

$$\nabla \times \vec{B} = \mu_0 \vec{j} + \varepsilon_0 \mu_0 \frac{\partial \vec{E}}{\partial t} \right\} \left\{ \begin{array}{ccc} \nabla \times \vec{H} &= \vec{j}_{libre} + \frac{\partial \vec{D}}{\partial t} \\ \nabla \times \vec{\mathcal{M}} &= \vec{j}_{mag} + \frac{\partial \vec{\mathcal{P}}}{\partial t} \end{array} \right.$$
 Campo magnetizante $\vec{B}/\mu_0 = \vec{H} + \vec{\mathcal{M}} \leftarrow$ Magnetización

Interpretación de $\vec{\mathcal{P}}$ y $\vec{\mathcal{M}}$

- En un sistema en equilibrio $\vec{j}_{libre} = 0$ y
- Las ecuaciones para \vec{E} y \vec{H} son iguales.
- $ightharpoonup \vec{B} = \mu_0 \vec{H}$
- Resolviendo en términos de potenciales
- $\vec{\mathcal{P}}$ y $\vec{\mathcal{M}}$ se interpretan como densidades volumétricas de momento dipolar.

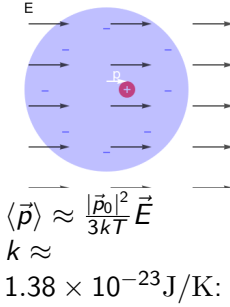


 $\vec{\mathcal{P}}$ y $\vec{\mathcal{M}}$ son las densidades volumétricas

de momento dipolar.

Polarizabilidad eléctrica

- ► En un medio lineal, $\vec{P} = \chi_E \varepsilon_0 \vec{E}$ con χ_E la polarizabilidad eléctrica.
- Un modelo simple para la polarizabilidad atómica consiste en suponer un núcleo puntual, rodeado de una nube electrónica esférica.
- ► Ejercicio: Estimar χ_E para un gas noble.
- Moléculas con momento dipolar permanente \vec{p}_0 (ej: H_2O). $U_F = -\vec{p} \cdot \vec{E}$.
- ▶ Distribución de Boltzmann $P(U_E) = e^{-U_E/kT} \Rightarrow$, $\langle \vec{p} \rangle = \frac{|\vec{p}_0|^2}{3kT} \left(3 \frac{\coth(u)u 1}{u^2} \right) \Big|_{u = \frac{p_0 E}{L}} \vec{E}$
- Para el agua, $p_0 = 1.84 \text{Debve} = 6.16 \times 10^{-30} \text{C m}$



constante de Boltzmann T: temperatura absoluta.

Magnetización

- No se puede explicar en términos de partículas "clásicas" cargadas.
- En un medio lineal isótropo, $\vec{\mathcal{M}} = \gamma_M \vec{H}$.
- Se introduce $\mu = \mu_0(1 + \chi_M)$, la permeabilidad magnética del medio.

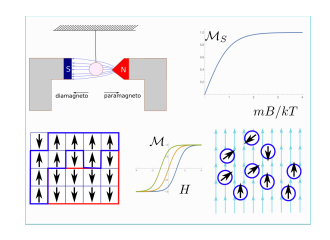
$$\vec{B}/\mu_0 = \vec{H} + \vec{\mathcal{M}}$$

$$= (1 + \chi_M)\vec{H}$$

$$\vec{B} = \mu \vec{H}$$

$$\mu = (1 + \chi_M)\mu_0$$

En los medios materiales, se observan los siguientes comportamientos:

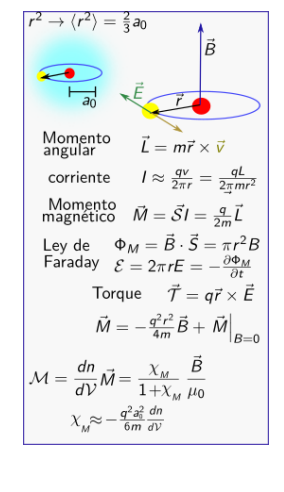


- ► Magnetización inducida por *H*
 - Diamagnetismo (repelidos por imanes)
 - Paramagnetismo (atraídos por imanes)
- Magnetización intrínseca
 - Ferromagnetismo
 - Anti Ferromagnetismo -Ferrimagnetismo

Diamagnetismo

- ▶ En un superconductor, $\chi_M = -1$
- Para materiales típicos, $\gamma_M \approx -10^{-6}$
- ► Ejemplos:
 - ► Helio $\chi_M \approx -9.85 \times 10^{-10}$
 - Agua: $\chi_M \approx -9 \times 10^{-6}$
 - Parafina $\chi_M \approx -8.8 \times 10^{-6}$
 - ightharpoonup Cobre $\chi_M \approx -9.63 \times 10^{-6}$
 - ▶ Diamante $\chi_M \approx -2.2 \times 10^{-5}$
- Modelo clásico: consecuencia de la Ley de Faraday

$$\frac{d\vec{m}}{dt} = -\frac{q^2}{4\pi m} \frac{d\Phi_B}{dt} \quad q = Ze$$



 $\chi_M =$ molaridad de átomos diamagnéticos $(dn/dV) \times N_A \times M_A \times$

Paramagnetismo

- Átomos con momentos magnéticos permanentes.
- Resulta de la distribución de Boltzmann con energía $U_B = -\vec{m} \cdot \vec{B}$.
- $\rightarrow \chi_M > 0$
- $ightharpoonup \chi_M$ depende de la temperatura (Ley de Curie) $\chi_M pprox rac{|\vec{m}_0|^2}{3kT}$
- Para campos intensos,

$$ec{\mathcal{M}} pprox ec{\mathcal{M}}_{s} \, \mathsf{tanh}(ec{B} \cdot ec{M}/kT)$$

- Ejemplos:
 - Oxígeno: $\chi_M = 3,73 \times 10^{-7}$
 - Aluminio: $\chi_M \approx 2, 2 \times 10^{-5}$
 - ▶ Niquel: $\chi_M \approx 600$
 - Hierro: $\chi_M \approx 2 \times 10^5$

Ferromagnetismo, Antiferromagnetismo y Ferrimagnetismo

- Resultado de la interacción de intercambio.
- Grupos de átomos se alínean dentro de dominios magnéticos.
- $ightharpoonup \vec{M}$ depende de la historia (*histéresis*).
- ▶ A temperaturas altas, el *orden magnético* se pierde, y se obtiene una *fase paramagnética*.
- ► Ley de Curie-Weiss

$$\chi_M pprox \frac{C}{T - T_c}$$

- En un ferromagneto, $T_c > 0$, y a bajas temperaturas todos momentos se alinean paralelos, aún para $\vec{H} = 0$.
- ▶ En un anti-ferromagneto, $T_c < 0$, y a bajas temperaturas los momentos se alinean anti-paralelos. $\chi_B \to 0$ para campos bajos.
- ► En un ferrimagneto, los momentos no se cancelan totalmente entre sí.

Ondas Electromagnéticas en medios lineales

Ecuaciones de Maxwell en medios lineales

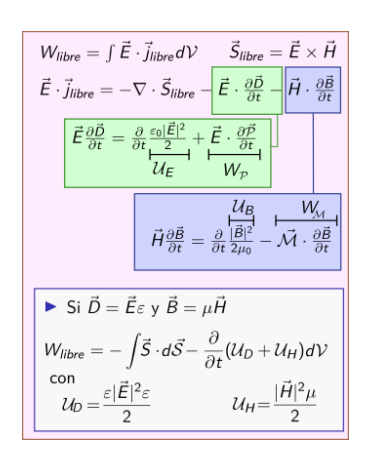
$$\vec{D} = (1 + \chi_E)\epsilon_0 \vec{E} = \epsilon \vec{E}$$

$$\vec{B} = (1 + \chi_M)\mu_0 \vec{H} = \mu \vec{H}$$

- ► En ausencia de cargas y corrientes libres, $c \to \frac{c}{n} = \frac{1}{\sqrt{\mu \varepsilon}}$.
- Para soluciones armónicas, podemos absorber la corriente de conducción en la constante dieléctrica $\varepsilon \to \varepsilon + \frac{\mathrm{i}\sigma}{\omega} \to \mathit{n}(\omega)$ complejo!

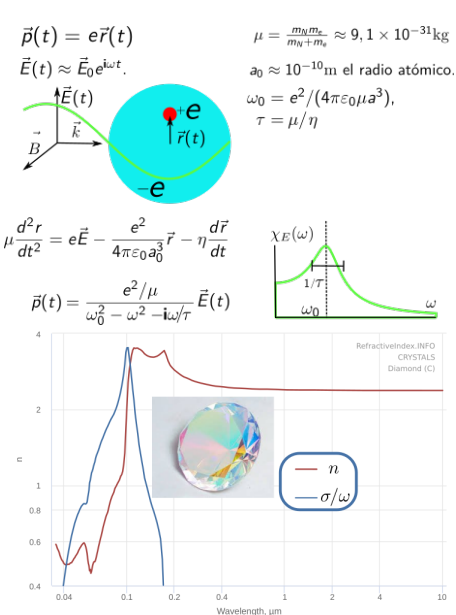
Teorema de Poynting

- En la práctica, conviene reescribir el teorema de Poynting en términos de las corrientes y cargas libres.
- Para medios lineales e isótropos, las expresiones coinciden con las del vacío, salvo por el cambio $\varepsilon_0 \to \varepsilon$, $\mu_0 \to \mu$.
- Cargamos en las energías eléctrica y magnética el trabajo de las fuerzas que intervienen en la polarización (de origen EM o no).

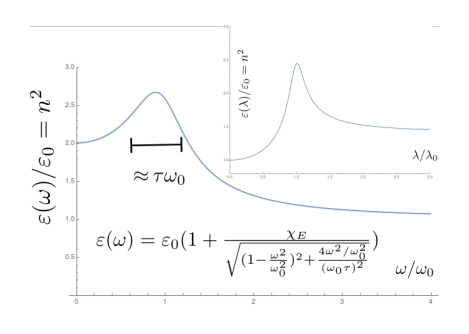


Polarizabilidad en campos oscilantes

- Podemos modelar la polarizabilidad atómica debida a un campo oscilante como un oscilador amortiguado.
- μ masa reducida nube-núcleo.
- Disipación η debido al acoplamiento mecánico a la red iónica.



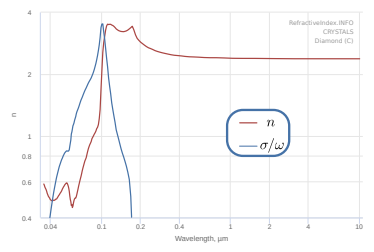
Ejemplo: índice de refracción en el diamante



$$\lambda_0 \approx 10^{-7} \mathrm{m}$$

$$\omega_0 = \frac{2\pi c}{\lambda_0} \approx 10^{16} \mathrm{Hz}$$

$$\tau \approx \frac{1}{\omega_0} \approx \frac{\varepsilon_0}{\sigma} \approx 10^{-16} \mathrm{s}$$





Pregunta de integración

Considere un arreglo de barritas cilindricas conductoras de largo L y diámetro $a \ll L$ y conductividad σ . Si las barritas se distribuyen en forma paralela sobre un plano y sin tocarse, explique qué espera observar cuando una onda plana, linealmente polarizada, incide sobre el arreglo, como función del ángulo de polarización.